

单向 S-粗直觉模糊集

牛彩云, 杨 勇, 金 兰

NIU Cai-yun, YANG Yong, JIN Lan

西北师范大学 数学与信息科学学院, 兰州 730070

College of Mathematics and Information Science, Northwest Normal University, Lanzhou 730070, China

E-mail: niucaiyunz@163.com

NIU Cai-yun, YANG Yong, JIN Lan. One-direction S-rough intuitionistic fuzzy sets. Computer Engineering and Applications, 2009, 45(27): 53-55.

Abstract: According to the fuzzy, uncertain and dynamical properties of the systems, based on intuitionistic fuzzy sets and one-direction S-rough sets, one-direction S-rough intuitionistic fuzzy sets is proposed. The structure, properties, existing background and meaning explanation of one-direction S-rough intuitionistic fuzzy sets are presented. The relations of one-direction S-rough intuitionistic fuzzy sets, Pawlak rough sets, one-direction S-rough fuzzy sets and one-direction S-rough sets are analyzed.

Key words: one-direction S-rough intuitionistic fuzzy sets; membership function; nonmembership function; intuitionistic fuzzy transfer

摘 要: 针对系统具有的模糊、不确定及动态特性, 基于直觉模糊集和单向 S-粗集理论, 提出单向 S-粗直觉模糊集, 给出它的结构、性质、存在背景和意义解释。分析了单向 S-粗直觉模糊集与 Pawlak 粗集, 单向 S-粗模糊集以及单向 S-粗集等之间的关系。

关键词: 单向 S-粗直觉模糊集; 隶属函数; 非隶属函数; 直觉模糊迁移

DOI: 10.3778/j.issn.1002-8331.2009.27.017 文章编号: 1002-8331(2009)27-0053-03 文献标识码: A 中图分类号: TP18

1 引言

粗集理论是由波兰数学家 Z.Pawlak 于 1982 年提出的用于数学分析的理论^[1], 被广泛应用于模式识别、机器学习、决策支持、过程控制等领域。由 L.A.Zadeh 提出的模糊集理论^[2]在处理不确定知识方面同样得到广泛应用, 而 Atanassov 提出的直觉模糊集^[3-4]是对 Zadeh 模糊集理论的进一步扩充和发展。直觉模糊集增加了一个新的属性参数: 非隶属度函数, 进而可以描述“非此非彼”的“模糊概念”, 使其能够更加细腻地刻画现实世界的模糊本质。然而, 粗糙集和直觉模糊集理论涉及的概念和知识都是静态的, 不具有动态特性。于是, 山东大学史开泉教授于 2002 年提出 S-粗集理论^[5], 使其能够处理具有动态特性的对象集合, 但其不具有模糊性。针对这类问题, 文献[6]和文献[7]给出具有单向动态迁移特性的粗糙模糊集及其特性。该文在文献[1-7]基础上, 提出单向 S-粗直觉模糊集, 这将为直觉模糊集理论提供更为广泛的应用领域。

2 预备知识

约定: 设 (U, R) 为 Z.Pawlak 近似空间, U 为有限论域, R 是定义在 U 上的等价关系, $[x]_R$ 为 U 上的 R -等价类。

2.1 直觉模糊集

定义 1 设 U 是一个给定的有限论域, 则 U 上的一个直觉

模糊集 A 为:

$$A = \{ \langle x, \mu_A(x), \gamma_A(x) \rangle | x \in U \}$$

其中, $\mu_A(x): U \rightarrow [0, 1]$ 和 $\gamma_A(x): U \rightarrow [0, 1]$ 分别代表 A 的隶属函数 $\mu_A(x)$ 和非隶属函数 $\gamma_A(x)$, 且对于 A 上的所有 $x \in U, 0 \leq \mu_A(x) + \gamma_A(x) \leq 1$ 成立。

当 U 为连续空间时, $A = \int_x \langle \mu_A(x) + \gamma_A(x) \rangle / x, x \in U$; 当 $U = \{x_1, x_2, \dots, x_n\}$ 为离散空间时, $A = \sum_{i=1}^n \langle \mu_A(x_i) + \gamma_A(x_i) \rangle / x_i, x_i \in U, i=1, 2, \dots, n$ 。直觉模糊集 A 可简记作 $A = \langle x, \mu_A(x), \gamma_A(x) \rangle$ 或 $A = \langle \mu_A(x), \gamma_A(x) \rangle / x$ 。

对 U 中的每一个直觉模糊子集, 称 $\pi_A(x) = 1 - \mu_A(x) - \gamma_A(x)$ 为 A 中 x 的直觉指数, 它是 x 对 A 的犹豫程度的一种测量, 表示“非此非彼”的中立状态。

命题 1 设 A, B 是两个直觉模糊集, 则

- (1) $A \subseteq B$ iff $(\forall x \in U) (\mu_A(x) \leq \mu_B(x) \& \gamma_A(x) \geq \gamma_B(x))$;
- (2) $A = B$ iff $A \subseteq B \& B \subseteq A$;
- (3) $A \cap B = \langle \min(\mu_A(x), \mu_B(x)), \max(\gamma_A(x), \gamma_B(x)) \rangle / x | x \in U$;
- (4) $A \cup B = \langle \max(\mu_A(x), \mu_B(x)), \min(\gamma_A(x), \gamma_B(x)) \rangle / x | x \in U$ 。

2.2 单向 S-粗集

定义 2 设 U 为有限论域, F 是定义在 U 上的元素迁移族,

基金项目: 国家自然科学基金(the National Natural Science Foundation of China under Grant No.10771171); 甘肃省教育厅科研基金(No.0701-16); 兰州市科技攻关项目(No.2008-1-34)。

作者简介: 牛彩云(1981-), 女, 硕士, 主要研究领域为: 数据挖掘与粗糙集理论; 杨勇(1967-), 男, 博士, 副教授, 主要研究领域为: 数据挖掘与粗糙集理论; 金兰(1981-), 女, 硕士, 主要研究领域为: 数据挖掘与粗糙集理论。

收稿日期: 2008-11-03 修回日期: 2009-01-15

称 X° 是 U 上的单向奇异集合(one direction Singular Set), 简称单向 S-集合, 如果 $f \in F$ 且

$$X^\circ = X \cup \{x|u \in U, u \notin X, f(u) = x\};$$

称 X^f 为 X 的 f 扩张, 如果

$$X^f = \{x|u \in U, u \notin X, f(u) = x\}$$

定义 3 设 X° 是 U 上的单向 S-集合, $X^\circ \subseteq U, f \in F$ 是 U 上定义的元素迁移, 称 $(R, F)_\circ(X^\circ)$ 是单向 S-集合 X° 的下近似, 如果

$$(R, F)_\circ(X^\circ) = \cup [x]_R = \{x|x \in [f(x)]_R \cup [x]_R \subseteq X^\circ\}$$

称 $(R, F)^\circ(X^\circ)$ 是单向 S-集合 X° 的上近似, 如果

$$(R, F)^\circ(X^\circ) = \cup [x]_R = \{x|x \in [f(x)]_R \cap X^\circ \neq \emptyset \wedge [x]_R \cap X^\circ \neq \emptyset\}$$

定义 4 称集合对 $((R, F)_\circ(X^\circ), (R, F)^\circ(X^\circ))$ 是 $X^\circ \subseteq U$ 在近似空间 (U, R) 上的单向奇异粗集, 简称单向 S-粗集。

定义 5 称 $A_s(X^\circ)$ 是单向 S-粗集 $((R, F)_\circ(X^\circ), (R, F)^\circ(X^\circ))$ 生成的副集, 如果 $A_s(X^\circ) = \{x|u \in U, u \notin X, f(u) = x \in \widetilde{X}, \forall f \in F\}$ 。

注: “ $\widetilde{}$ ”表示在迁移函数 $f \in F$ 作用下, $f(u) = x$ 不能完全迁入集合 X 。

3 单向 S-粗直觉模糊集

定义 6 设 U 为有限论域, $F(U)$ 为论域 U 上直觉模糊集的全体, $A \in F(U)$, 且 $A = \sum_{i=1}^n \langle \mu_A(x_i) + \gamma_A(x_i) \rangle / x_i$, 称 $F = \{f_1, f_2, \dots, f_n\}$ 是定义在 U 上的直觉模糊元素迁移族, $f_i \in F (i=1, 2, \dots, n)$ 是直觉模糊集上的元素迁移, 如果 $f_i \in F$ 且满足:

$$\begin{aligned} \exists u \in U, F_A(u) = \langle \mu_A(u) + \gamma_A(u) \rangle / u \Rightarrow F_A(f_i(u)) = \\ \langle \mu_A(f_i(u)), \gamma_A(f_i(u)) \rangle / u \end{aligned}$$

其中 $\mu_A(u) < \mu_A(f_i(u)), \gamma_A(u) > \gamma_A(f_i(u))$ 。

定义 7 设 U 是有限论域, $F(U)$ 是 U 上的直觉模糊集的全体, $F = \{f_1, f_2, \dots, f_n\}$ 是定义在 $F(U)$ 上的直觉模糊迁移族, $A \in F(U)$, 称 A° 是 A 的单向 S-直觉模糊集合, 如果

$$A^\circ = A \cup \{f(u)|u \in U, \mu_A(f(u)) > \mu_A(u), \gamma_A(f(u)) < \gamma_A(u)\}$$

称 A^f 为 A 的 f 扩张, 如果

$$A^f = \{f(u)|u \in U, \mu_A(f(u)) > \mu_A(u), \gamma_A(f(u)) < \gamma_A(u)\}$$

定义 8 设 (U, R) 为 Z.Pawlak 近似空间, $A^\circ \in F(U)$ 是 U 上的单向 S-直觉模糊集合, 称 $(R, F)_\circ(A^\circ)$ 是单向 S-直觉模糊集合 A° 的下近似, 如果满足

$$(R, F)_\circ(A^\circ) = \bigwedge_{R(u,x)} A^\circ(u) = \bigwedge_{\substack{u \in U \\ R(u,x)}} \bigvee_{\substack{u \in U \\ R(u,x)}} \bigvee_{f \in F} (A(f(u)))$$

$(R, F)^\circ(A^\circ)$ 是单向 S-直觉模糊集合 $A^\circ \in F(U)$ 的上近似, 如果满足

$$\begin{aligned} (R, F)^\circ(A^\circ) = \bigvee_{u \in U} (R(u,x) \wedge A^\circ(u)) = \\ \bigvee_{u \in U} (R(u,x) \wedge (A(u) \vee (\bigvee_{f \in F} A(f(u)))) \end{aligned}$$

注 $R(u, x)$ 表示元素 $u \in U$ 和 $x \in U$ 之间存在等价关系。

定义 9 称集合对 $((R, F)_\circ(A^\circ), (R, F)^\circ(A^\circ))$ 为 $A^\circ \in F(U)$ 在 $K=(U, R)$ 上的单向 S-粗直觉模糊集。

定义 10 设 $(R, F)(A^\circ), (R, F)(B^\circ)$ 分别是直觉模糊集 A, B 的单向 S-粗直觉模糊集, 称 $(R, F)(A^\circ)$ 与 $(R, F)(B^\circ)$ 相等, 如果

$(R, F)_\circ(A^\circ) = (R, F)_\circ(B^\circ)$ 且 $(R, F)^\circ(A^\circ) = (R, F)^\circ(B^\circ)$; 若 $(R, F)^\circ(A^\circ) \subseteq (R, F)^\circ(B^\circ)$ 且 $(R, F)_\circ(A^\circ) \subseteq (R, F)_\circ(B^\circ)$, 则 $(R, F)(A^\circ) \subseteq (R, F)(B^\circ)$ 。

定义 11 设 $(R, F)(A^\circ), (R, F)(B^\circ)$ 分别是直觉模糊集 A, B 的单向 S-粗直觉模糊集, $(R, F)(A^\circ)$ 与 $(R, F)(B^\circ)$ 的并记作 $(R, F)(A^\circ) \cup (R, F)(B^\circ)$, 其隶属函数和非隶属函数分别为:

$$\begin{aligned} \mu_{(R, F)(A^\circ) \cup (R, F)(B^\circ)}(x) &= (\mu_{(R, F)(A^\circ)}(x) \vee \\ &\mu_{(R, F)(B^\circ)}(x), \mu_{(R, F)(A^\circ)}(x) \vee \mu_{(R, F)(B^\circ)}(x)) \\ \gamma_{(R, F)(A^\circ) \cup (R, F)(B^\circ)}(x) &= (\gamma_{(R, F)(A^\circ)}(x) \wedge \\ &\gamma_{(R, F)(B^\circ)}(x), \gamma_{(R, F)(A^\circ)}(x) \wedge \gamma_{(R, F)(B^\circ)}(x)) \end{aligned}$$

$(R, F)(A^\circ)$ 与 $(R, F)(B^\circ)$ 的交记作 $(R, F)(A^\circ) \cap (R, F)(B^\circ)$, 其隶属函数和非隶属函数分别为:

$$\begin{aligned} \mu_{(R, F)(A^\circ) \cap (R, F)(B^\circ)}(x) &= (\mu_{(R, F)(A^\circ)}(x) \wedge \\ &\mu_{(R, F)(B^\circ)}(x), \mu_{(R, F)(A^\circ)}(x) \wedge \mu_{(R, F)(B^\circ)}(x)) \\ \gamma_{(R, F)(A^\circ) \cap (R, F)(B^\circ)}(x) &= (\gamma_{(R, F)(A^\circ)}(x) \vee \\ &\gamma_{(R, F)(B^\circ)}(x), \gamma_{(R, F)(A^\circ)}(x) \vee \gamma_{(R, F)(B^\circ)}(x)) \end{aligned}$$

命题 2 设 A, B 是两个直觉模糊集, 则

- (1) $(R, F)_\circ(A^\circ) \subseteq A^\circ \subseteq (R, F)^\circ(A^\circ)$;
- (2) $(R, F)_\circ(\emptyset) = (R, F)^\circ(\emptyset) = \emptyset, (R, F)_\circ(U) = (R, F)^\circ(U) = U$;
- (3) $(R, F)_\circ(A^\circ \cap B^\circ) = (R, F)_\circ(A^\circ) \cap (R, F)_\circ(B^\circ), (R, F)^\circ(A^\circ \cup B^\circ) = (R, F)^\circ(A^\circ) \cup (R, F)^\circ(B^\circ)$;
- (4) $(R, F)^\circ(A^\circ \cap B^\circ) \subseteq (R, F)^\circ(A^\circ) \cap (R, F)^\circ(B^\circ), (R, F)_\circ(A^\circ \cup B^\circ) \supseteq (R, F)_\circ(A^\circ) \cup (R, F)_\circ(B^\circ)$;
- (5) $A^\circ \subseteq B^\circ \Rightarrow (R, F)_\circ(A^\circ) \subseteq (R, F)_\circ(B^\circ), (R, F)^\circ(A^\circ) \subseteq (R, F)^\circ(B^\circ)$;
- (6) $(R, F)_\circ(((R, F)_\circ(A^\circ))^\circ) \subseteq (R, F)_\circ(A^\circ), (R, F)^\circ(((R, F)^\circ(A^\circ))^\circ) \supseteq (R, F)^\circ(A^\circ)$;
- (7) $(R, F)^\circ(((R, F)_\circ(A^\circ))^\circ) \supseteq (R, F)_\circ(A^\circ), (R, F)_\circ(((R, F)^\circ(A^\circ))^\circ) \subseteq (R, F)^\circ(A^\circ)$ 。

该命题证明根据上面定义和命题 1 易得, 在此不给出证明。

4 单向 S-粗直觉模糊与 Z.Pawlak 粗集, 单向 S-粗集, 单向 S-粗模糊集等之间的关系

命题 3(单向 S-粗直觉模糊集与直觉模糊集的关系) 设 F 是定义在论域 U 上的元素迁移族, 若 $F = \emptyset$, 则单向 S-粗直觉模糊集退化成直觉模糊集。

命题 4(单向 S-粗直觉模糊集与单向 S-粗模糊集的关系) 若 A 中元素 x 的直觉指数 $\pi_A(x) = 1 - \mu_A(x) - \gamma_A(x) = 0$, 则直觉模糊集退化成模糊集, 相应的, 单向 S-粗直觉模糊集退化成单向 S-粗模糊集。

命题 5(单向 S-粗直觉模糊集与 Pawlak 粗集的关系) 若 A 为经典集合, 则单向 S-粗直觉模糊集退化成单向 S-粗集, 进一步, 若 $F = \emptyset$, 则单向 S-粗直觉模糊集退化成 Pawlak 粗集。

因而它们之间存在如图 1 所示的关系:

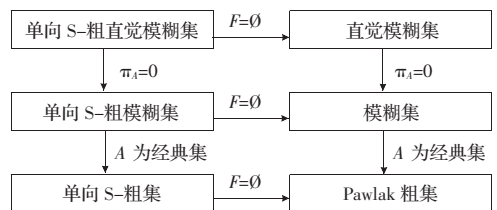


图 1 关系图

5 单向S-粗直觉模糊集的存在背景和意义解释

雷达目标的识别是一种具有很强不确定性和动态性的问题, 只有抓住它的核心信息, 才能准确地对目标进行识别。由雷达识别的影响因素构成的论域 $U=\{u_1, u_2, \dots, u_6\}$, 其中 u_1, u_2, \dots, u_6 分别表示雷达目标的一维距离像、声信号、RCS、航迹、速度及加速度等信息。考虑各个因素对目标识别影响程度, 得到 U 上的模糊概念 $A=\{\langle 0.74, 0.22 \rangle / u_1, \langle 0.68, 0.25 \rangle / u_2, \langle 0.25, 0.10 \rangle / u_3, \langle 0.65, 0.24 \rangle / u_4, \langle 0.20, 0.15 \rangle / u_5, \langle 0.93, 0.04 \rangle / u_6\}$, 然而, 由于环境等各个条件是变化的, 而且识别也因人而异, 因此上述各因素对目标识别的影响程度也是变化的。

设 $F=\{f_1, f_2, \dots, f_n\}$ 为 U 上的元素迁移族, 若在 $f_1 \in F$ 的作用下, u_2 的隶属度和非隶属度分别由 0.68 和 0.25 变化成 0.88 和 0.08, 即 $\mu_A(f_1(u_2))=0.88, \gamma_A(f_1(u_2))=0.08$, 同样, 在 $f_2 \in F$ 的作用下, u_5 的隶属度和非隶属度分别由 0.20 和 0.15 变化成 0.30 和 0.09, 即 $\mu_A(f_2(u_5))=0.30$ 和 $\gamma_A(f_2(u_5))=0.09$ 。从而, 可以看到, 在 F 的作用下直觉模糊集 A 发生动态变化, 得到 A° , 且

$$A^\circ=\{\langle 0.74, 0.22 \rangle / u_1, \langle 0.88, 0.08 \rangle / u_2, \langle 0.25, 0.10 \rangle / u_3, \langle 0.65, 0.24 \rangle / u_4, \langle 0.25, 0.10 \rangle / u_5, \langle 0.93, 0.04 \rangle / u_6\}$$

又设 $U/R=\{\{u_1, u_4\}, \{u_2\}, \{u_3, u_5\}, \{u_6\}\}$, 则 A° 的下、上近似分别为:

$$(R, F)_\circ(A^\circ)=\{\langle 0.65, 0.24 \rangle / u_1, \langle 0.88, 0.08 \rangle / u_2, \langle 0.25, 0.10 \rangle / u_3, \langle 0.65, 0.24 \rangle / u_4, \langle 0.25, 0.10 \rangle / u_5, \langle 0.93, 0.04 \rangle / u_6\}$$

$$(R, F)^\circ(A^\circ)=\{\langle 0.74, 0.22 \rangle / u_1, \langle 0.88, 0.08 \rangle / u_2, \langle 0.30, 0.09 \rangle / u_3, \langle 0.74, 0.22 \rangle / u_4, \langle 0.30, 0.09 \rangle / u_5, \langle 0.93, 0.04 \rangle / u_6\}$$

由下近似得:

$$\mu_A((R, F)_\circ(A^\circ)(u_6))=0.93 > \mu_A((R, F)_\circ(A^\circ)(u_2))=0.88 > \mu_A((R, F)_\circ(A^\circ)(u_1))=\mu_A((R, F)_\circ(A^\circ)(u_4)) > \mu_A((R, F)_\circ(A^\circ)(u_3))=\mu_A((R, F)_\circ(A^\circ)(u_5))$$

$$\gamma_A((R, F)_\circ(A^\circ)(u_6))=0.04 < \gamma_A((R, F)_\circ(A^\circ)(u_2))=0.08 < \gamma_A((R, F)_\circ(A^\circ)(u_3))=\gamma_A((R, F)_\circ(A^\circ)(u_5)) < \gamma_A((R, F)_\circ(A^\circ)(u_1))=\gamma_A((R, F)_\circ(A^\circ)(u_4))$$

(上接 33 页)

- [2] Barzilay O, Brailovsky V L. On domain knowledge and feature selection using a support vector machine[J]. Pattern Recognition Letters, 1999, 20(5): 475-484.
- [3] Su C T, Yang C H. Feature selection for the SVM: An application to hypertension diagnosis[J]. Expert Systems with Applications, 2008, 34(1): 754-763.
- [4] Ayat N E, Cheriet M, Suen C Y. Automatic model selection for the optimization of SVM kernels[J]. Pattern Recognition, 2005, 38(10): 1733-1745.
- [5] Adankon M M, Cheriet M. Optimizing resources in model selection for support vector machine[J]. Pattern Recognition, 2007, 40(3): 953-963.
- [6] Wang W J, Men C Q, Lu W Z. Online prediction model based on support vector machine[J]. Neurocomputing, 2008, 71(4-6): 550-558.
- [7] Dietterich T G. Machine learning research: four current directions[J]. AI Magazine, 1997, 18(4): 97-136.
- [8] Yu S X. Feature selection and classifier ensemble: a study of hyperspectral remote sensing[D]. Antwerp University, 2003.

$$(A^\circ)(u_1))=\gamma_A((R, F)_\circ(A^\circ)(u_4))$$

由上近似得:

$$\mu_A((R, F)^\circ(A^\circ)(u_6))=0.93 > \mu_A((R, F)^\circ(A^\circ)(u_2))=0.88 > \mu_A((R, F)^\circ(A^\circ)(u_1))=\mu_A((R, F)^\circ(A^\circ)(u_4)) > \mu_A((R, F)^\circ(A^\circ)(u_3))=\mu_A((R, F)^\circ(A^\circ)(u_5))$$

$$\gamma_A((R, F)^\circ(A^\circ)(u_6))=0.04 < \gamma_A((R, F)^\circ(A^\circ)(u_2))=0.08 < \gamma_A((R, F)^\circ(A^\circ)(u_3))=\gamma_A((R, F)^\circ(A^\circ)(u_5)) < \gamma_A((R, F)^\circ(A^\circ)(u_1))=\gamma_A((R, F)^\circ(A^\circ)(u_4))$$

因此, 根据上述判断, 考虑因素 $u_i (1 \leq i \leq 6)$ 在单向S-粗直觉模糊集中上、下近似的隶属函数和非隶属函数大小, 识别者应重点考虑因素 u_6 和 u_2 , 对 u_1 和 u_4 也要加以防范, 确保识别结果准确无误。

6 结论

从直觉模糊集理论出发, 考虑元素的动态迁移性, 提出单向S-直觉模糊集的概念, 给出单向S-粗直觉模糊集的结构、性质以及与其他粗集的联系。最后给出单向S-粗直觉模糊集在雷达目标的识别中的应用。这为动态的模糊粗决策、动态的模糊数据挖掘和动态的模糊信息粗传递奠定了理论基础。对模糊信息处理, 知识表达等起到了更加重要的作用。

参考文献:

- [1] Pawlak Z. Rough sets[J]. International Journal of Computer and Information Sciences, 1982, 11: 341-356.
- [2] Zadeh L A. Fuzzy sets[J]. Information and Control, 1965(8): 338-359.
- [3] Atanassov K. Intuitionistic fuzzy sets[J]. Fuzzy Sets Systems, 1986, 20(1): 87-96.
- [4] Atanassov K. More on intuitionistic fuzzy sets[J]. Fuzzy Sets Systems, 1989, 33(1): 37-46.
- [5] 史开泉, 崔玉泉. S-粗集和它的一般结构[J]. 山东大学学报: 理学版, 2002, 37(6): 471-474.
- [6] 刘纪芹, 孟令存. 单向S-粗模糊集及其特性[J]. 计算机工程与应用, 2007, 43(33): 58-62.
- [7] 侯海军, 王庆东. 单向奇异粗糙模糊集合的结构[J]. 纯粹数学与应用数学, 2007, 23(2): 171-177.
- [9] Li Z H, Li Y G, Cai Y Z. An empirical comparison of ensemble classification algorithms with support vector machines[C]//Proc of ICMLC'04, Shanghai, China, 2004: 3520-3523.
- [10] Kim H C, Pang S. Constructing support vector machine ensemble[J]. Pattern Recognition, 2003, 36(12): 2757-2767.
- [11] Li X C, Wang L, Sung E. AdaBoost with SVM-based component classifiers[J]. Engineering Applications of Artificial Intelligence, 2008, 21(5): 785-795.
- [12] Li B, Li X J, Zhao Z Y. Novel algorithm for constructing support vector machine regression ensemble[J]. Systems Engineering and Electronics, 2006, 17(3): 541-545.
- [13] Pang S N, Kim D, Bang S Y. Membership authentication in the dynamic group by face classification using SVM ensemble[J]. Pattern Recognition Letters, 2003, 24(1-3): 215-225.
- [14] Nanni L. An ensemble of classifiers for the diagnosis of erythema-to-squamous diseases[J]. Neurocomputing, 2006, 69(7-9): 842-845.
- [15] Wang S J, Mathew A. Empirical analysis of support vector machine ensemble classifiers[J]. Expert Systems with Applications, 2009, 36(2): 6466-6476.